

Синхронизация и десинхронизация в ансамблях мобильных агентов

Е.М. Варварин, Г.В. Осипов

Декабрь 2024

Аннотация. Анализируются механизмы возникновения и разрушения, а также характеристики синхронного и асинхронного режимов поведения ансамблей (роев) взаимодействующих мобильных агентов, двигающихся согласно хаотическим фазовым траекториям систем Ресслера и Лоренца. Продемонстрирована основанная на эффекте хаотической фазовой синхронизации возможность организации последовательного и параллельного движения агентов.

Ключевые слова: мобильный агент, ансамбль, хаотическая фазовая синхронизация, система Ресслера, система Лоренца.

1. Введение

В последние годы понятие "мобильный агент"[1] получило широкое распространение при моделировании процессов, в которых важно взаимное расположение отдельных агентов (частиц) в фазовом пространстве. Рассматриваются популяции мобильных агентов с импульсной связью с целью применения в системах роевой робототехники и мобильных сенсорных сетях [2]. Развивается и само понятие мобильного агента, разработана гибридная модель многоагентных систем, объединяющая преимущества метрических и топологических правил взаимодействия [3]. Условия включения связи между агентами также могут быть совершенно разнообразны, помимо взаимодействия на определенном расстоянии [4, 5], элементы могут взаимодействовать только с теми, кто входит в их поле зрения [6] или же при нахождении в заранее определенных зонах пространства [7]. В данной работе на примере хаотических аттракторов Ресслера и Лоренца демонстрируется возможность организации последовательного и параллельного движения агентов на основе эффекта хаотической фазовой синхронизации.

2. Модель

В качестве мобильного агента рассмотрим материальную точку, движущуюся в трехмерном пространстве (x, y, z) так, что ее траектория полностью совпадает с траекторией поставленного ей в соответствие осциллятора. Обобщенный вид, описывающий поведение ансамбля взаимодействующих частиц следующий:

$$\begin{cases} \dot{x}_i = f_x + d_x \left[\sum_{j=1}^N (x_j - x_i) \right] \\ \dot{y}_i = f_y + d_y \left[\sum_{j=1}^N (y_j - y_i) \right], \\ \dot{z}_i = f_z + d_z \left[\sum_{j=1}^N (z_j - z_i) \right] \end{cases} \quad i = \overline{1, N} \quad (1)$$

В отсутствие связей ($d_x = d_y = d_z = 0$) динамика отдельного агента может быть как регулярной, так и хаотической. В общем случае все агенты неидентичные.

Связь между i -тым и j -тым агентами включается только при их достаточной близости: тогда, когда агенты оказываются внутри цилиндра радиуса r :

$$d_k = \begin{cases} d', & (x_i - x_j)^2 + (y_i - y_j)^2 < r^2 \\ 0, & \text{в противном случае} \end{cases} \quad (2)$$

где $k = \{x, y, z\}$, $d' = const$ – параметр, определяющий силу связи. Связь между элементами во времени может быть организована тремя способами:

- a) после попадания траекторий в цилиндр связь между осцилляторами не отключается,
- b) связь может быть отключена после как какой-то из осцилляторов покинул цилиндр и
- c) связь может действовать только определенное время.

Если не оговорено специально, в работе рассматривается первый вариант.

Целью работы является исследование коллективной динамики ансамблей взаимодействующих агентов, двигающихся по хаотическим траекториям. Рассматривается коллективная динамика двух типов: когерентная синхронная динамика и не когерентная, полностью асинхронная динамика. При когерентной динамике в ансамблях возникает режим хаотической фазовой синхронизации. Для режим хаотической фазовой синхронизации двух осцилляторов имеет место выполнении двух условий: совпадение средних частот:

$$\Omega_i = \langle \nu_i \rangle = \Omega_j = \langle \nu_j \rangle \quad (3)$$

и наличие ограниченной разности фаз:

$$|\phi_i(t) - \phi_j(t)| \leq const \quad (4)$$

В ансамблях синхронизация бывает как глобальной, так и кластерной. В первом случае все агенты двигаются по близким траекториям с некоторым интервалом между друг другом. Это обеспечивается наличием фазового сдвига $\phi_i(t) - \phi_j(t)$. Во втором случае ансамбли разбиваются на отдельные группы синхронно двигающихся агентов. Как будет показано ниже, объединение агентов в синхронные группы может происходить как при притягивающих, так и при отталкивающих связях. В первом случае движение агентов можно рассматривать как последовательной, а во втором как параллельное. Очевидно, что выбирая соответствующим образом топологию связей можно добиться комбинации последовательно и параллельного движения агентов.

В качестве осцилляторов, по траекториям которых двигаются агенты, рассматриваются система Ресслера и система Лоренца. Напомним, что в системе Ресслера хаотические колебания возникают в результате каскада бифуркаций удвоения периода предельных циклов. В зависимости от параметров системы хаотический аттрактор бывает фазо-когерентным (phase-coherent) (Рис. 1a) или аттрактором-воронкой (funnel) (Рис.1b). В системе Лоренца мы рассматриваем классический аттрактор Лоренца (Рис.1c,d) и хаотический аттрактор, возникающий через перемежаемость (Рис.1e).

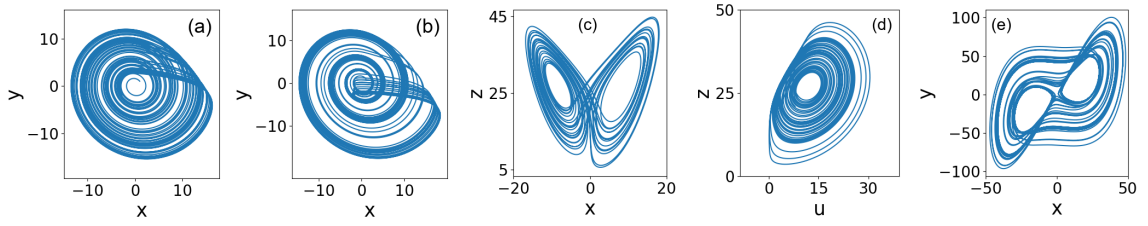


Рис. 1: Проекция хаотических аттракторов. (а) проекция на плоскость (x, y) аттрактора Ресслера (система (5)) в фазо-когерентном режиме ($a = 0.16$, $b = 0.1$, $c = 8.5$), (б) проекция на плоскость (x, y) аттрактора Ресслера в режиме воронки ($a = 0.22$, $b = 0.1$, $c = 8.5$), (с) проекция на плоскость (x, z) классического аттрактора Лоренца (система (12) при $d_y = 0$) ($\sigma = 10$, $b = 8/3$, $r = 28$), (д) проекция классического аттрактора Лоренца на плоскость $(u = \sqrt{x^2 + y^2}, z)$, (е) проекция на плоскость (x, y) аттрактора Лоренца, возникающий через перемежаемость $\sigma = 10$, $b = 8/3$, $r = 166.1$

3. Синхронизация мобильных агентов.

Рассмотрим варианты синхронного поведения ансамблей агентов, движение которых происходит в соответствии с хаотическими траекториями системы Ресслера и системы Лоренца.

3.1. Система Ресслера

Пусть движение агента происходит по хаотической траектории системы Ресслера [8]:

$$\begin{cases} \dot{x}_i = -w_i y_i - z_i = f_x \\ \dot{y}_i = w_i x_i + a y_i = f_y, \quad i = \overline{1, N} \\ \dot{z}_i = b + z_i(x_i - c) = f_z \end{cases} \quad (5)$$

где a, b, c – положительные параметры. В последующих экспериментах примем $a = 0.16$ для фазо-когерентного аттрактора и $a = 0.22$ для аттрактора воронки, $b = 0.1$, $c = 8.5$. Параметр w_i , выбираемый случайно из интервала $[0.93; 1.07]$ характеризует временные масштабы осцилляций. В нашем исследовании примем: $d' = 0.3$, $r = 4$. Значение параметр связи d' выбрано таким, что все взаимодействующие хаотические осцилляторы синхронизуются по фазе без введения параметра близости траекторий r [9, 10].

Параметры системы выбраны так, чтобы при достаточно близких к нулю начальных условиях (в настоящей работе рассматривался куб с длиной ребра 10 с центром в начале координат) фазовые траектории не уходили на бесконечность, а притягивались к хаотическому квазиаттрактору (см, например, [11]). Формально моделирование и указанный бифуркационный сценарий дают только хаотическое множество.

Введём фазу следующим образом:

$$\phi = \arctan \frac{\dot{y}}{\dot{x}} \quad (6)$$

Тогда формула для вычисления средней частоты примет вид:

$$\langle \dot{\phi} \rangle = \langle \nu \rangle = \left\langle \frac{\dot{y}\ddot{x} - \ddot{y}\dot{x}}{\dot{x}^2 + \dot{y}^2} \right\rangle \quad (7)$$

Было проанализировано влияние параметра a на среднюю частоту системы (Рис. 2):

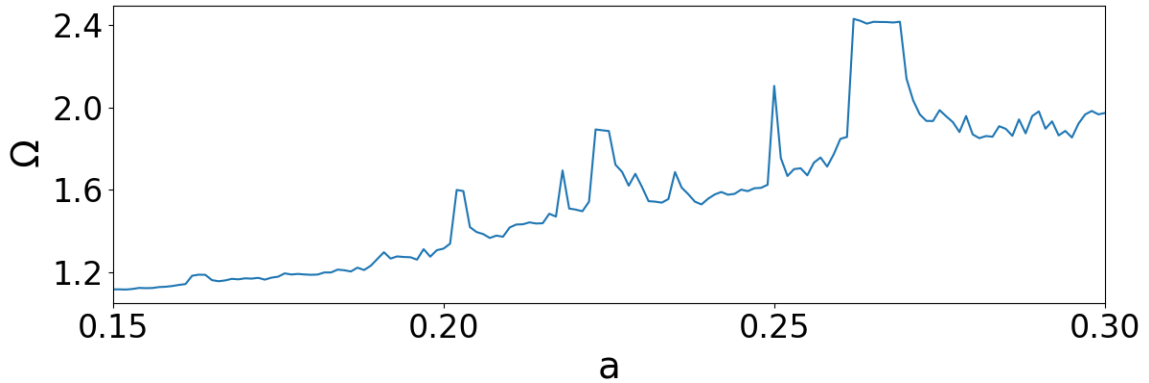


Рис. 2: Зависимость средней частоты от параметра a .

Прекрасно видно, что с ростом параметра a средняя частота агента растет. Соответственно, при больших значениях параметра a (при которых аттрактор всё ещё остается хаотическим), скорость синхронизации ансамбля агентов будет значительно выше, чем в случае фазо-когерентного аттрактора ($a = 0.16$).

3.1.1. Связь по переменной y

Рассмотрим коллективное поведение ансамбля из 10 мобильных агентов, движение которых подчиняется хаотической траектории системы Ресслера – фазокогерентному аттрактору. Пусть системы Ресслера связаны только по переменной y во втором уравнении системы (1), для этого d_y задаётся выражением (2), $d_x = 0$, $d_z = 0$.

Первые работы по хаотической фазовой синхронизации связанных систем Ресслера были посвящены анализу систем связанных по переменной y . Было обнаружено, что пара [10] и цепочка [13] связанных неидентичных систем Ресслера в хаотическом режиме переходят в синхронный режим при достижении некоторого критического значения параметра связи. В нашем случае связь между элементами включается только тогда, когда фазовые траектории какой-либо пары осцилляторов попадают внутрь цилиндра (2). Так как связь выбрана достаточно большой, то осцилляторы синхронизируются. У них имеет место совпадение средних частот и ограниченность фазовой расстройки $|\phi_i(t) - \phi_j(t)| \leq const$. При этом соответствующие мобильные агенты двигаются по близким траекториям на некотором расстоянии друг от друга (Рис.3а). (см также [12].)

3.1.2. Связь по переменной x

Пусть системы Ресслера связаны только по переменной x в первом уравнении системы (1), для этого d_x задаётся выражением (2), $d_y = 0$, $d_z = 0$. Аналогично связи по y , с течением времени агенты начнут объединяться, образуя кластеры. В итоге будет достигнута глобальная синхронизация. Но в данном случае движение будет не "по цепочке а все вместе, "единым фронтом". Поведение агентов похоже на случай "параллельное движение"[12], однако из-за отсутствия противоположно направленных связей агенты могут приближаться друг с другом на любое расстояние. Результаты представлены динамики ансамбля из 10 элементов на Рис. 3б.

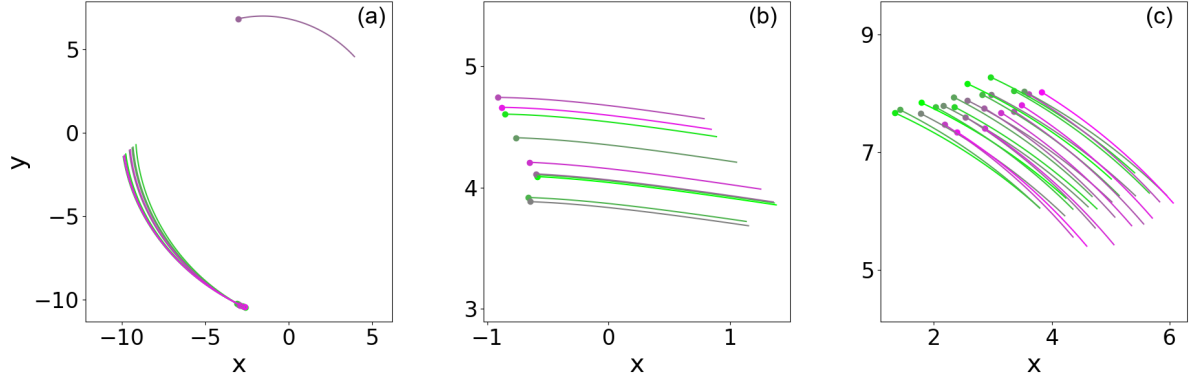


Рис. 3: Синхронизация ансамбля мобильных агентов. (а) последовательное движение агентов (друг за другом), связь по переменной y , $d_x = d_z = 0$ в системе (1), (б) параллельное движение агентов (единым фронтом), связь по переменной x , $d_y = d_z = 0$ в системе (1) (с) - движение в заданной конфигурации "решетка скомбинированные связи, аналогичные случаю "Придание рою мобильных агентов структуры различных геометрических форм" в [12].

3.1.3. Комбинированная связь по переменным x и y

Выше показано, что связь по переменной y обеспечивает последовательное движение агентов, а связь по переменной x обеспечивает параллельное движение. Подбирая соответствующим образом межэлементные связи легко получить всевозможные топологические структуры из синхронизованных агентов. На Рис.3с представлена конфигурация типа "двумерная решетка" размером 5×5 .

3.2. Синхронизация аттракторов Лоренца

Используя связи, описанные выше, попробуем применить те же подходы для синхронизации другого хаотического аттрактора – аттрактора Лоренца, записанного в следующем виде:

$$\begin{cases} \dot{x}_i = \sigma(y_i - x_i) \\ \dot{y}_i = r_i x_i - y_i - x_i z_i + d_y \cdot [\sum_{j=1}^N (y_j - y_i)], & i = \overline{1, N} \\ \dot{z}_i = -b z_i + x_i y_i \end{cases} \quad (8)$$

где $b = \frac{8}{3}$, $\sigma = 10$, значения параметра r будут определяться типом аттрактора Лоренца.

Рассмотрим аттракторы Лоренца двух видов:

- Классический аттрактор Лоренца. Для системы из пяти элементов возьмем $r_i \in [28; 28.1]$. Формула для фазы известна и вычисляются следующим образом:

$$\phi = \arctan \frac{z - z_0}{u - u_0}, \quad (9)$$

где $u = \sqrt{x^2 + y^2}$, $u_0 = 12$ и $z_0 = 27$.

- Аттрактор Лоренца, возникающий через перемежаемость (intermittent). В этом случае $r_i \in [166.1; 166.2]$

$$\phi(t) = 2\pi \frac{t - t_n}{t_{n+1} - t_n} + 2\pi n, t_n \leq t \leq t_{n+1}, \quad (10)$$

Где $[t_n; t_{n+1}]$ – цикл, состоящий из одной ламинарной и одной турбулентной стадий под номером n . Подробнее этот подход описан в [14].

Результаты численного моделирования процесса синхронизации для систем Лоренца, демонстрирующих оба типа хаотического поведения, представлены на Рис. 4. В обоих случаях, как для связанных осцилляторов Ресслера, сначала наступает кластерная синхронизация, а затем глобальная. Связь подобрана таким образом, что имеет место последовательное движение мобильных агентов. Следует отметить, что переход к режиму глобальной синхронизации происходит в течение короткого времени.

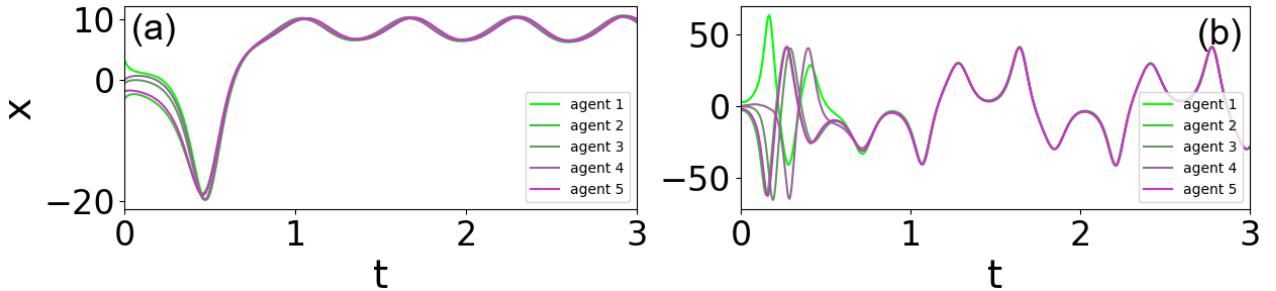


Рис. 4: Синхронизация систем Лоренца. (a) – синхронизация в случае существования классического аттрактора, (b) – синхронизация в случае аттрактора, возникшего через перемежаемость. Начальные условия для каждого агента генерировались случайно, $x \in [-5; 5]$, $y \in [-5; 5]$, $z \in [-1; 1]$.

4. Десинхронизация роя

4.1. Введение связи по переменной z

В предыдущих примерах стояла задача достижения синхронного режима поведения мобильных агентов. В данном разделе будут обсуждаться способы десинхронизации – разрушения синхронного режима. Оказалось, что добиться этого можно введением межэлементной связи по переменной z в третье уравнение системы (1).

Для демонстрации эффекта десинхронизации был проведен следующий эксперимент: сначала за счет связи по переменной y была обеспечена глобальная синхронизация агентов. Они последовательно двигались (см Рис. 2 (a)) в некоторой локальной движущейся в соответствии с фазовыми траекториями осцилляторов области L фазового пространства. Далее, после включения связи по переменной z , агенты в следствии взаимодействия поочередно вылетали за пределы области L . Связь по переменной z в такой постановке является отталкивающей. Результаты описанного выше эксперимента представлены на Рис. 5.

4.2. Изменение величины межэлементных связей и уменьшение радиуса действия связи

Для решения задачи десинхронизации роя возможно применение двух простых алгоритмов. В первом случае разрушить синхронный режим можно уменьшив величину межэлементной связи d' . В силу разных положений в момент уменьшения (или отключения) связи хаотические системы не будут синхронизованы: будет иметь

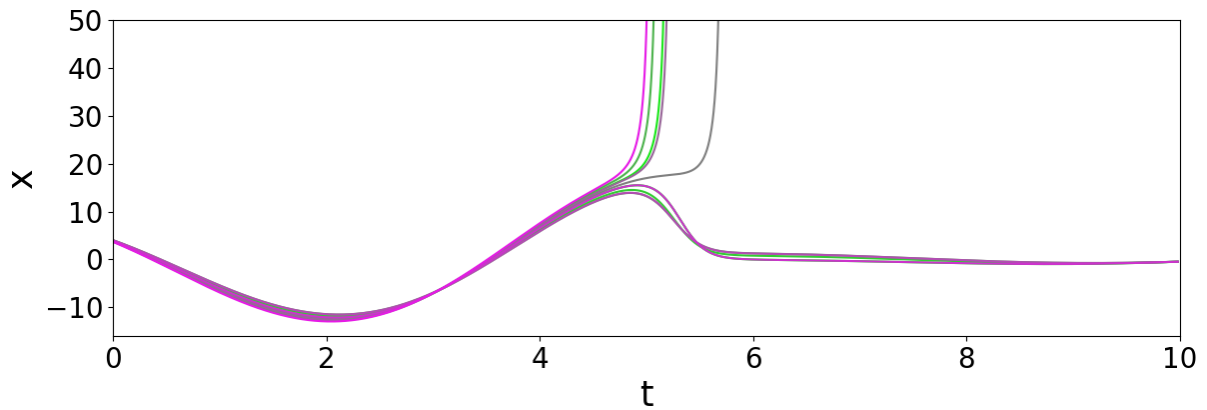


Рис. 5: Добавление в глобально синхронизированную систему связи по z . Изначально в аттракторе 10 агентов. Довольно быстро 8 агентов оказываются за пределами области L . При $t > 6$ синхронизованными остаются только два агента. Через некоторое время (на рисунке момент не указан) между оставшимися агентами происходит десинхронизация.

место разбегание фазовых траекторий. Во втором случае к десинхронизации может привести уменьшение величины радиуса цилиндра, в котором включена связь между агентами (r). Вследствие хаотического поведения мобильных агентов при уменьшении величины r какие-либо хаотические траектории могут покинуть область L и количество синхронизованных элементов сократиться.

5. Результаты

В результате исследования синхронизации и десинхронизации роя мобильных агентов получено следующее:

- На примере ансамблей взаимодействующих мобильных агентов, траектории движения которых подчиняются системам Ресслера и Лоренца в хаотических режимах, было рассмотрено влияние различных видов связей на коллективную динамику, в частности на возникновение синхронных режимов. Показана возможность организации последовательного и параллельного движения агентов и организации различных топологических конфигураций роя агентов;
- Для случая хаотических аттракторов Ресслера были предложены и успешно протестированы три способа десинхронизации роя: при введении дополнительной связи по переменной z , при уменьшении межэлементной связи и при уменьшении радиуса действия связи.

6. Благодарности

Работа выполнена при финансовой поддержке гранта РФФИ #23-12-00180 (задача синхронизации) и проекта № 0729-2020-0036 Министерства науки и высшего образования Российской Федерации (задача десинхронизации)

Список литературы

- [1] Y. Liu, M. Bi, T. Yuan and J. Song, // Event-triggered consensus tracking for multiple agents with nonlinear dynamics, 2018 33rd Youth Academic Annual Conference of Chinese Association of Automation (YAC), Nanjing, China, 2018, pp. 1055-1060, DOI: 10.1109/YAC.2018.8406527.
- [2] F. Perez-Diaz, R. Zillmer and R. Groß // Control of Synchronization Regimes in Networks of Mobile Interacting Agents, Phys. Rev. Appl., V. 7 (5), P. 054002 (2017). DOI: 10.1103/PhysRevApplied.7.054002.
- [3] L. Wang and G. Chen // Synchronization of multi-agent systems with metric-topological interactions, Chaos: An Interdisciplinary Journal of Nonlinear Science, V. 26 (1054-1500), P. 094809 (2016). DOI: 10.1063/1.4955086.
- [4] S. Majhi, D. Ghosh and J. Kurths // Emergence of synchronization in multiplex networks of mobile Rössler oscillators, Phys. Rev. E., V. 99, P. 012308 (2019). DOI: 10.1103/PhysRevE.99.012308.
- [5] L. Wang, P. Xue, Z. Kong, X. Wang // Locally and Globally Exponential Synchronization of Moving Agent Networks by Adaptive Control, Journal of Applied Mathematics, V. 2013, P. 1 (2013). DOI: 10.1155/2013/241930.
- [6] F. Perez-Diaz, R. Zillmer and R. Groß // Firefly-Inspired Synchronization in Swarms of Mobile Agents in AAMAS '15 Proceedings of the 2015 International Conference on Autonomous Agents and Multiagent Systems. Link: researchgate.net/publication/281205067.
- [7] B. Kim, Y. Do and Y.C. Lai. // Emergence and scaling of synchronization in moving-agent networks with restrictive interactions, Phys Rev E Stat Nonlin Soft Matter Phys., V. 88(4), P. 042818 (2013). DOI: 10.1103/PhysRevE.88.042818.
- [8] V.A. Levin, G.V. Osipov // Controlling the motion of a group of mobile agents, Tech. Phys. Lett., V. 42, P. 298 (2016). DOI: 10.1134/S1063785016030251.
- [9] G. V. Osipov, B. Hu, C. Zhou, J. Kurts // Three Types of Transitions to Phase Synchronization in Coupled Chaotic Oscillators, Phys. Rev. Lett., V. 91 (2), P. 024101 (2003). DOI: 10.1103/PhysRevLett.91.024101.
- [10] M. G. Rosenblum, A. S. Pikovsky and J. Kurths // Phase Synchronization of Chaotic Oscillators, Phys. Rev. Lett., V. 76(11), P. 1804 (1996). DOI: 10.1103/PhysRevLett.76.1804.
- [11] N. Stankevich // Stabilization and complex dynamics initiated by pulsed force in the Rössler system near saddle-node bifurcation, Nonlinear Dyn, V. 112, P. 2949–2967 (2024). DOI: 10.1007/s11071-023-09183-2.
- [12] Е. М. Варварин, Г. В. Осипов // Синхронизация и управление движением ансамбля мобильных агентов Письма в ЖТФ V. 13 (50), P. 34 (2024). DOI: 10.61011/PJTf.2024.13.58167.19836.
- [13] G. V. Osipov, A. S. Pikovsky, M. G. Rosenblum and J. Kurts // Phase synchronization effects in a lattice of nonidentical Rössler oscillators, Phys. Rev. E., V. 55 (3), P. 2353 (1997). DOI: 10.1103/PhysRevE.55.2353.

- [14] G. V. Osipov, J. Kurts, C. Zhou // Synchronization in oscillatory networks (Springer, Berlin Heidelberg New York, 2007), P. 20.